

UNIVERSIDAD NACIONAL AUTONOMA DE MEXICO

FACULTAD DE QUIMICA

**"RECONDICIONAMIENTO EN LA INSTALACION DE UN
SISTEMA DE EVAPORACION A DOBLE ESTRUCTURA"**

M.C. ARCE ALVAREZ

LUCIA ARCIENDA CARRILLO

INGENIERIA QUIMICA

1967



UNAM – Dirección General de Bibliotecas

Tesis Digitales
Restricciones de uso

DERECHOS RESERVADOS ©
PROHIBIDA SU REPRODUCCIÓN TOTAL O PARCIAL

Todo el material contenido en esta tesis está protegido por la Ley Federal del Derecho de Autor (LFDA) de los Estados Unidos Mexicanos (México).

El uso de imágenes, fragmentos de videos, y demás material que sea objeto de protección de los derechos de autor, será exclusivamente para fines educativos e informativos y deberá citar la fuente donde la obtuvo mencionando el autor o autores. Cualquier uso distinto como el lucro, reproducción, edición o modificación, será perseguido y sancionado por el respectivo titular de los Derechos de Autor.

UNIVERSIDAD NACIONAL AUTONOMA DE MEXICO
FACULTAD DE QUIMICA

TESIS

LUCIA MARCINIEGA CARRILLO

MEXICO D. F.

1967

A MIS PADRES Y HERMANOS

Presidente Prof: ALBERTO BRENAUTZ H.
Vocal : CUTIBERZO RAMIREZ C.
Secretario : JULIO CORREDOR C.
1er. Suplente : JUAN MANUEL BRAVO L.C.
2do. Suplente : GERMAN CLEASON A.

Sitio donde se desarrolló el tema Laboratorio de Ingeniería Química de la Facultad de Química de la U.N.A.M.

SUSTENTANTE: Zuleta Arrechave Carrillo

ASESOR: Ing. Quím. Julio Corredor

SUPERVISOR TÉCNICO: Ing. Quím. Cutberto Ramírez

CONTENIDO

	Pág.
CAPITULO I Introducción	8
CAPITULO II Generalidades	9
CAPITULO III Factores principales que intervienen en la evaporación	21
CAPITULO IV Inconvenientes y reforzos a la instalación del equipo	32
CAPITULO V Determinaciones experimentales	40
CAPITULO VI Conclusiones	49
CAPITULO VII Bibliografía	50

I INTRODUCCION

En el laboratorio de Ingeniería Química - de la Facultad de Química de la U.S.A.M., se cuenta con un sistema de evaporaderos a doble efecto, cuya característica fundamental estriba en que están dotados de una caja de sal la cual permite llevar la operación a límites en los que se alcance la cristalización de los materiales disueltos. Aprovechando bien, habiéndose presentado deficiencias en la operación de este sistema, se trataron de resolver, en la medida de las posibilidades con que se contaron, efectuando un rediseñamiento.

Las modificaciones efectuadas provienen - de las observaciones hechas al tratar de concentrar una mezcla de glicerina, sal y agua procedente de la hidrólisis de los grasos y aceites, la que se utilizó debido a que el equipo en cuestión se adapta a este tipo de soluciones con - dos solutos, uno de los cuales se precipita y el otro queda en una solución más concentrada con el remanente del que ha precipitado.

El trabajo se encuadró principalmente ~~en~~ - en la resolución de los diversos inconvenientes observados y que se originaron principalmente en algunas fallas de carácter mecánico que impedían la realización de la práctica-

especificamente propuestas para aprovechar los evaporadores con fines didácticos.

En el caso de la exposición de los procesos de fabricación de la celulosa, se ha sugerido la realización de un modelo que ilustre la operación de la máquina de molienda de fibras y la separación de las fibras de los residuos.

En el caso de la exposición de los procesos de fabricación del azúcar, se ha sugerido la realización de un modelo que ilustre la operación de la máquina de molienda de caña y la separación de la pulpa de la caña.

En el caso de la exposición de los procesos de fabricación de la harina, se ha sugerido la realización de un modelo que ilustre la operación de la máquina de molienda de trigo y la separación de la harina de los residuos.

En el caso de la exposición de los procesos de fabricación de la aceituna, se ha sugerido la realización de un modelo que ilustre la operación de la máquina de molienda de aceituna y la separación de la aceituna de los residuos.

En el caso de la exposición de los procesos de fabricación de la leche, se ha sugerido la realización de un modelo que ilustre la operación de la máquina de molienda de leche y la separación de la leche de los residuos.

En el caso de la exposición de los procesos de fabricación de la carne, se ha sugerido la realización de un modelo que ilustre la operación de la máquina de molienda de carne y la separación de la carne de los residuos.

En el caso de la exposición de los procesos de fabricación de la harina, se ha sugerido la realización de un modelo que ilustre la operación de la máquina de molienda de trigo y la separación de la harina de los residuos.

En el caso de la exposición de los procesos de fabricación de la aceituna, se ha sugerido la realización de un modelo que ilustre la operación de la máquina de molienda de aceituna y la separación de la aceituna de los residuos.

En el caso de la exposición de los procesos de fabricación de la leche, se ha sugerido la realización de un modelo que ilustre la operación de la máquina de molienda de leche y la separación de la leche de los residuos.

En el caso de la exposición de los procesos de fabricación de la carne, se ha sugerido la realización de un modelo que ilustre la operación de la máquina de molienda de carne y la separación de la carne de los residuos.

En el caso de la exposición de los procesos de fabricación de la harina, se ha sugerido la realización de un modelo que ilustre la operación de la máquina de molienda de trigo y la separación de la harina de los residuos.

En el caso de la exposición de los procesos de fabricación de la aceituna, se ha sugerido la realización de un modelo que ilustre la operación de la máquina de molienda de aceituna y la separación de la aceituna de los residuos.

En el caso de la exposición de los procesos de fabricación de la leche, se ha sugerido la realización de un modelo que ilustre la operación de la máquina de molienda de leche y la separación de la leche de los residuos.

En el caso de la exposición de los procesos de fabricación de la carne, se ha sugerido la realización de un modelo que ilustre la operación de la máquina de molienda de carne y la separación de la carne de los residuos.

II GENERALIDADES

Evaporación es la operación unitaria que tiene por objeto la separación por vaporización de un material volátil de otro no volátil, cuando el vapor formado no tiene valor en comparación con el residuo, excepto quizás por su contenido de calor.

Los procesos de evaporación se limitan en la práctica a soluciones acuosas de sustancias solubles, sólidas o líquidas.

Para llevar a cabo la evaporación es necesario:

a) Suministrar el calor necesario a la evolución para dar a las moléculas la energía cinética suficiente para producir la vaporización, y

b) Eliminar el vapor producido impidiendo su acumulación.

La rapidez de evaporación y por lo tanto, la capacidad de un evaporador, así como la de cualquier aparato en el que se tenga transferencia de calor está dada por la siguiente fórmula:

$$Q / e = \pi A \Delta T$$

En donde :

Q/H = Cantidad de calor transmitido, en BTU/hr.

A = Área media de la superficie de calentamiento, en pies².

\bar{U} = Coeficiente total de transmisión de calor, que se pugna de determinar experimentalmente e estimar según los resultados obtenidos al flujo de calor, en BTU/ft²°F·hr^{0.5}

ΔT = Diferencia de temperaturas entre la temperatura del medio que va a efectuar el calentamiento y la de saturación del líquido que se va a evaporar, ($T - t_0$) en °P.

Si calor puede suministrarse a la solución por contacto directo de ésta con la fuente productora de calor o por transmisión a través de una pared sólida.

La mayor parte del equipo industrial pertenece al segundo caso y generalmente el medio de calentamiento empleado es vapor saturado debido a las ventajas que presenta.

En general, las condiciones en las que la evaporación se lleva a cabo en la práctica son muy variadas y, dependiendo de las propiedades de las soluciones por evaporar, se utilizan diferentes tipos de construcción abierta en los evaporadores.

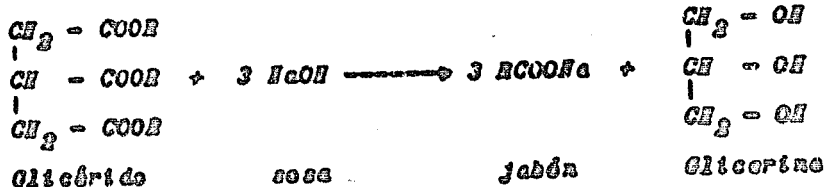
En el caso presento, para tener bien definido el problema que se trató y justificar las modificaciones que se realizaron, es conveniente conocer la solución y el equipo de evaporación que se emplearon.

Solución empleada.-

Las sales de jabón que resulten de la saponificación de las grasas con soluciones alcalinas de diferentes concentraciones, tienen una composición variable que depende de la calidad de los aceites empleados y de la técnica en la fabricación del jabón.

La reacción que se efectúa es la siguiente:

ter:



R es un resto de cadena hidrocarbonada — que puede ser saturada o no saturada dependiendo del aceite o grasa de que se trate.

Una vez terminada la reacción, que se verifica con rapidez si existe un ligero exceso del álcali, — se agrega cloruro de sodio con objeto de precipitar el jabón y separarlo de la capa acuosa que contiene los licuados de glicerina.

La solución acuosa está formada normalmente por 10 a 15 % de glicerina, 8 a 20 % de cloruro de sodio, pequeñas cantidades de jabón disuelto y otras impurezas orgánicas.

Antes de someterse a evaporación éstas soluciones son tratadas químicamente a fin de eliminar las impurezas orgánicas. Después de haber sido tratados los líquidos de glicerina, son concentrados por evaporación hasta obtener una solución conteniendo aproximadamente 60 % de glicerina, 7 % de agua y volátiles y 13 % de impurezas no volátiles.

Generalmente ésta evaporación se lleva a cabo en evaporadores de circulación natural, trabajando al vacío y utilizando vapor de baja presión como medio de calentamiento. Se emplean evaporadores de tubos cortos verticales, el vapor se condensa en el exterior de los tubos cediendo su contenido de calor y occasionando una circulación natural del líquido dentro de los tubos. En el fondo del evaporador existe una caja de sel donde se va depositando ésta a medida que se concentra la solución. Posterior a la evaporación se efectúa la destilación de la glicerina, la cual consiste en eliminar las impurezas restantes distilando al vacío con arrastre de vapor.

Equipo.-

La concentración de lejas se lleva a cabo en evaporadores de doble o simple efecto. El uso de aparatos de múltiple efecto determina en trabajo normal un ahorro de energía calorífica, pero a la vez occasionen mayores-

gastos por la inversión en el equipo, mano de obra, reparación, etc. Si cambio el evaporador de simple efecto consume mayor cantidad de vapor para una misma cantidad de glicerina cruda producida, pero su costo de adquisición es menor.

El equipo de evaporación empleado consta fundamentalmente de los siguientes partes:

1.- Evaporadores.- Dos vasos de fierro fundido dotados con calandria de 23 tubos de 1 1/2 pulg. de diámetro exterior y 21 pulg. de longitud, el diámetro de cada calandria es de 16 pulg. y el espesor de las chapas de los tubos es de 3/4 pulg. La línea de descarga de los vapores tiene un diámetro de 4 pulg., cuentan con niveles de cristal para el condensado de cada calandria y para el líquido a través de todo el vaso.

La caja de sal acoplada al segundo efecto tiene las siguientes características e está hecha de fierro fundido de 15 pulg. de altura y 25 pulg. de diámetro, comunicación de 4 pulg. con el vaso, línea de carga de vapor directo y de otro comprimido, descarga del líquido a través de una línea de 1 pulg. de diámetro, provista en el fondo de una placa metálica perforada para evitar los arrestos de sal durante el secado.

2.- Tanques de solución diluida y solución concentrada.- Estos tanques son de fierro con una capa

ciudad de 200 litros. Si tanque de solución diluida está provisto de un agitador accionado por un motor eléctrico de 1-H.P. de potencia y 1400 R.P.M. flecha vertical. Ambos tanques están conectados a la bomba de licor diluido; el tanque de licor diluido se lo puede enviar al licor concentrando y los condensados, el otro tanque de llega una línea de agua cruda, así como la solución que proviene del secado de la sal.

3.- Condensador de las vaporizaciones.-

El condensador de las vaporizaciones trabaja comúnmente en vacío y logra la condensación circulando agua fría que le sirve como medio de enfriamiento. Los condensados se colectan en un tanque situado inmediatamente abajo y con el cual se encuentra comunicado por una línea de 2 pulg. de diámetro. La conexión con los vasos es por medio de una línea de 4 pulg. de diámetro, cuenta con 139 tubos de cobre de 5/8 pulg. de diámetro exterior y 30 pulg. de longitud.

4.- Acumulador de condensaciones del condensador tubular.- Es un tanque horizontal, las dimensiones de la parte cilíndrica son 25 pulg. de diámetro y 48 pulg. de longitud. Conexión de 2 pulg. de diámetro a la bomba que desaloja estas condensaciones, conexión de 1 1/4 pulg. de diámetro al sistema de vacío, tubo de cristal indicador de nivel y línea de 2 pulg. de diámetro por donde

recibe los condensados del condensador tubular.

En este tanque acumulador se hace el vacío que gradualmente se extiende al resto del equipo.

5.- Acumuladores de condensaciones del vapor de calentamiento.- Se cuenta con seis tanques acumuladores, dos para cada vaso y dos para el precalentador de solución diluida. Los cuatro primeros están dotados de una línea de igualación de presiones y una línea de recolección de condensados, ambas de 1/2 pulg. de diámetro; los otros dos sólo cuentan con una línea de recolección de condensados. Las dimensiones de estos tanques son 16 pulg. de diámetro y 30 pulg. de altura. Todos los tanques están comunicados a la bomba que envía los condensados al tanque de alimentación de agua de la caldera, cada uno está provisto de indicador de nivel y de válvula de escape.

6.- Sistema de precalentamiento de solución diluida y enfriamiento de solución concentrada.- Este sistema consta de tres cambiadores de calor con las siguientes características: dos cambiadores con coraza de 2 pulg. de diámetro exterior y 36 pulg. de longitud, dos pasos por los tubos y un paso por la coraza. Un precalentador con diámetro de 3 pulg. normal en la coraza, dotado de 12 tubos de cobre de 1/2 pulg. de diámetro exterior, dos pasos por los tubos y uno por la coraza, entradas de 2/2 pulg. para el vapor

por y descarga del condensado por una línea de 1/8 pulg., la solución se por el interior de los tubos.

De los dos primoros, uno de utiliza como cambiador y en él intercambia calor la solución concentrada caliente y la solución diluida fría. Ambas salen a temperaturas medias, la solución diluida termica de precalentarse en el precalentador con vapor directo de la caldera, y la solución se enfria totalmente en el enfriador con agua, que es el fin al que se dirige al otro cambiador de 2 pulg. de diámetro en la corona, como ya se indicó; el precalentador eleva la temperatura de carga de licor diluido a base de vapor directo de la caldera cuyo flujo es controlado por medio de un controlador neumático y de una válvula de diafragma.

7.- Bombas.- Bomba de licor diluido; de turbina de 1 X 1 pulg. acoplada a un motor eléctrico de 1/6 de H.P., 220 voltos trifásico, 3625 R.P.M., con una línea de descarga para llevar la solución del tanque de licor diluido al primer efecto del sistema de evaporación.

Bomba de paso; con las mismas características de la anterior y transporta la solución semiconcentrada al segundo efecto.

Bomba de licor concentrado; bomba centríf

fuga de impulsor semiabierto, de 1.5 H.P. y 2950 R.P.M., la cual descarga la solución concentrada al tanque de licor concentrado.

Bomba de condensados del vapor del segundo efecto; bomba de triple impulsor abierto de 1.5 H.P. y 2950 R.P.M. 50 ciclos trifásico. Mueve los condensados de las deportaciones.

Bomba de condensados; con las mismas características de las dos primeras bombas, mueve los condensados del vapor de calentamiento, enviándolos al tanque de almacenación de agua de la caldera.

Bomba de vacío.- Presión absoluta mínima - de 3 pulg. accionada por un motor de 3.7 H.P. y 715 R.P.M.

Caldora.- La caldera es de tubos de humo, con potencia de 80 c.v., presión máxima de 135 lb/pulg² a manejarse con 200 voltio, tres fases, 50 ciclos y 7600 pies de altitud.

Instrumentos de medida y control.-

El equipo está provisto de tres rotámetros todos ellos de las mismas características, con capacidad máxima para determinar un flujo de 20 litros/min. Uno para licor diluido, otro para licor concentrado y uno más para el

fuga de impulsor semicilíndrico, de 1.5 H.P. y 2350 R.P.M., la cual descarga la solución concentrada al tanque de líquor concentrado.

Bomba de condensados del vapor del segundo efecto; Bomba de triple impulsor cilíndrico de 1.5 H.P. y 2350 R.P.M. 60 ciclos trifásico. Mueve los condensados de las vaporizaciones.

Bomba de condensados; con las mismas características de las dos primeras bombas, mueve los condensados del vapor de calentamiento, enviándolos al tanque de dilución de agua de la caldera.

Bomba de vacío.- Presión absoluta mínima - de 3 pulg. accionada por un motor de 2.7 H.P. y 716 R.P.M.

Caldera.- La caldera es de tubos de - humo, con potencia de 50 c.v., presión máxima de 135 — lb/pulg² e manejarse con 220 voltos, tres fases, 60 ciclos — y 7600 pies de altitud.

Instrumentos de medida y control.-

El equipo está provisto de tres rotámetros todos ellos de las mismas características, con capacidad — máxima para determinar un flujo de 10 lts/min. Uno para líquor diluido, otro para líquor concentrado y uno más para el —

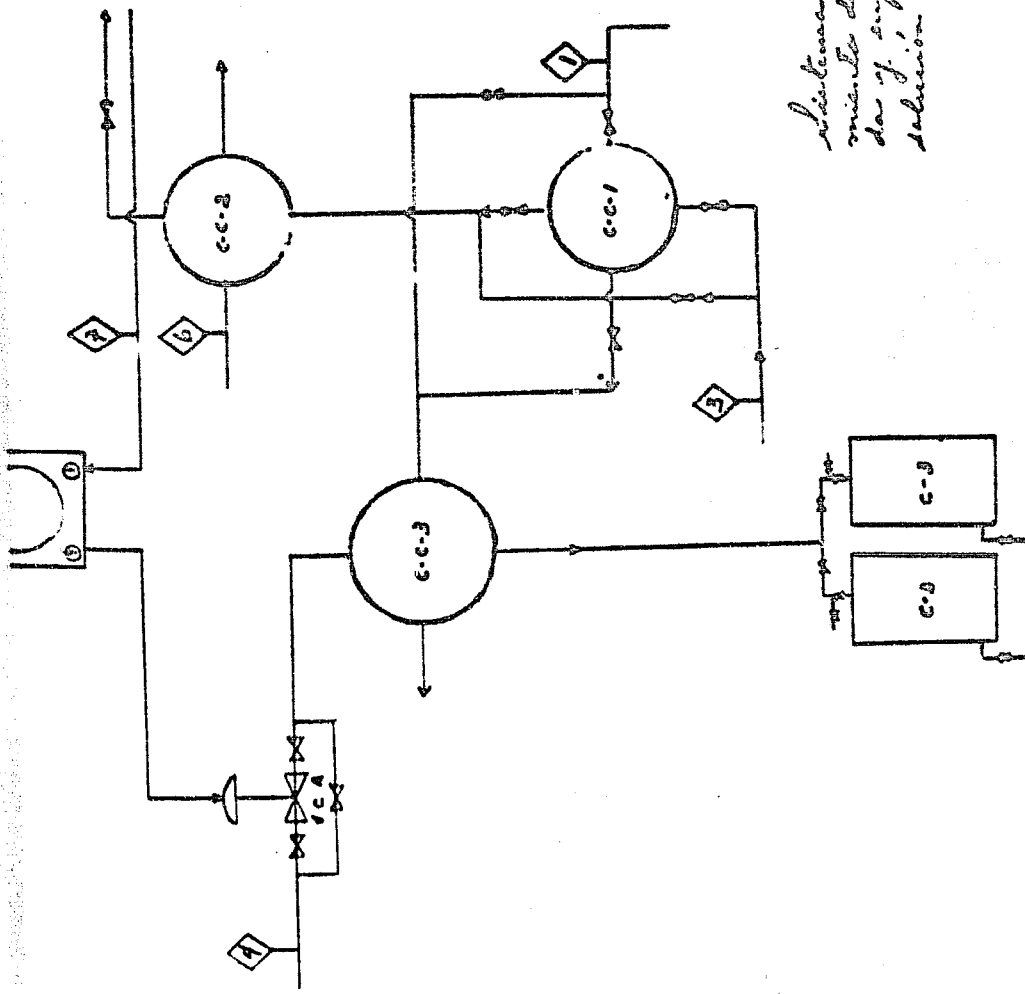
condensado de los vaporizadores del segundo efecto.

Seis manómetros, tres centralizados en el tablero de control y combinables de manera de obtener la información cuando se trabaja a doble efecto, un manómetro para la caja de sal, un manómetro en el espacio de vapor del segundo efecto y otro en la líneas de vapor al precalorificador.

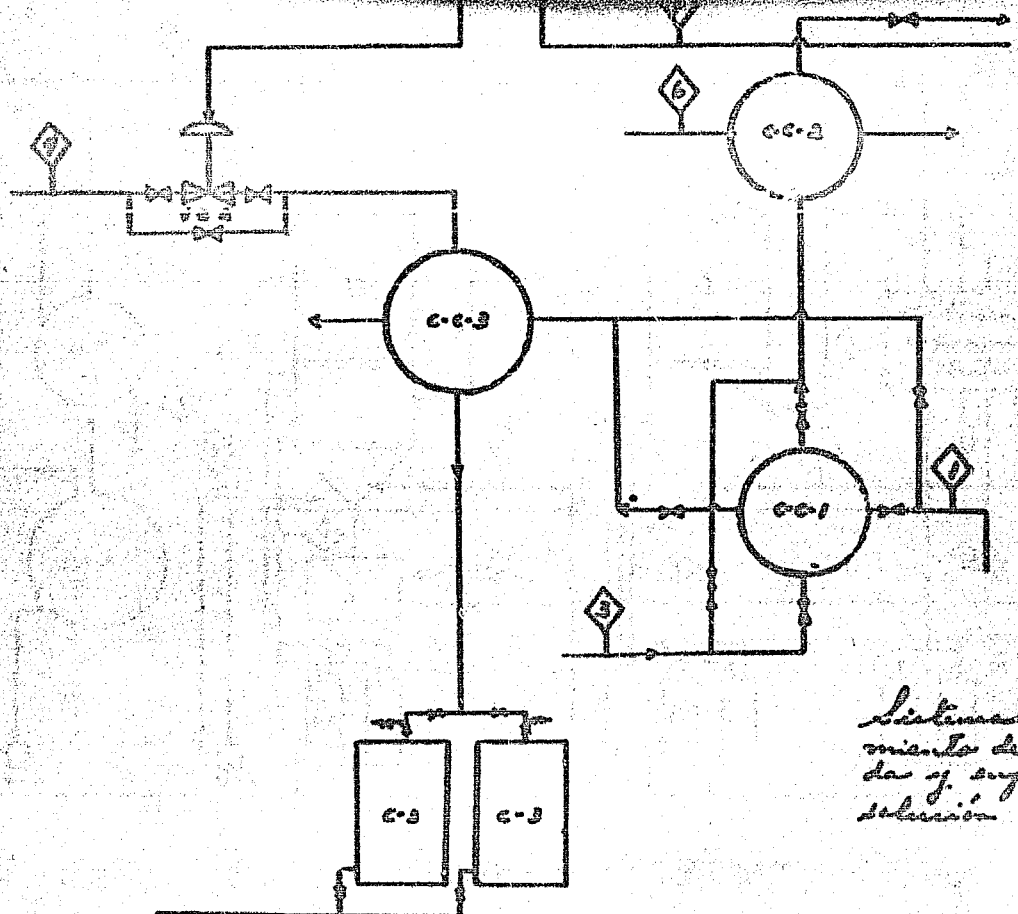
Cuenta también el equipo con 24 termómetros distribuidos convenientemente y que envían señales de temperatura a un potenciómetro múltiple "Benzewall".

El control de la temperatura de carga de licor diluido se hace por medio de un controlador de temperatura marca "Benzewall", con una gama de medición de 0 a 100 grados centígrados. Sus platinillas registran o indican la temperatura de la carga de alimentación y la temperatura del espacio de vapor del primer efecto. Solamente una de estas temperaturas es controlada numéricamente por el instrumento, el cual recibe aire seco, filtrado y a una presión aproximadamente de 20 lb/pulg.².

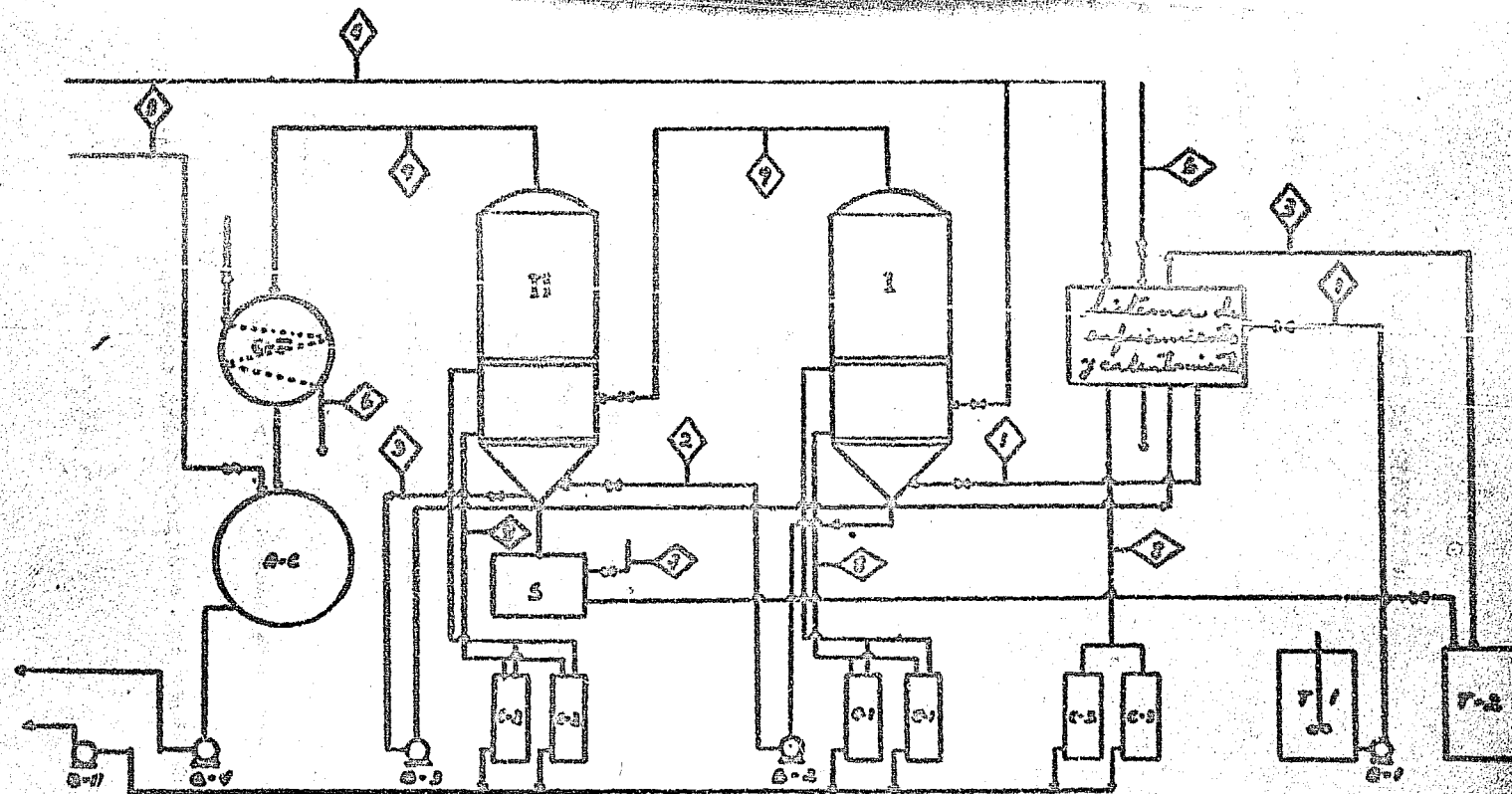
A continuación se muestran los diagramas del equipo descrito.



Asistencia del profesor
método de solución didáctico
y experimental de
sabión constante a la



Sistemas de procedimien-
tos de polimerización dilui-
da y enriquecimiento de
solución concentrada



Diagramas de flujo

RELACIONES DE CIRCUITOS.

- 1.- Solución diluida.
- 2.- Solución semiconcentrada.
- 3.- Solución concentrada.
- 4.- Vapor.
- 5.- Vacio.
- 6.- Agua.
- 7.- Aire.
- 8.- Condensados.
- 9.- Vaporizaciones producidas.

- A - C Acumulador de condensaciones del condensador tubular.
- B - 1 Bomba para solución diluida.
- B - 2 Bomba para solución semiconcentrada.
- B - 3 Bomba para solución concentrada.
- B - 4 Bomba para los condensados acumulados en A - C.
- B - 5 Bomba para los condensados acumulados en los tanques -
C = 1, C = 2 y C = 3.
- C - 1 Tanques colectores del condensado del vapor de calentamiento del primer efecto.
- C - 2 Tanques colectores del condensado del vapor de calentamiento del segundo efecto (vaporizaciones del primer efecto).
- C - 3 Tanques colectores del condensado del vapor de calen-

amiento del cambiador de calor C-C-S

C-C-1 Cambiador de calor entre solución concentrada y agua.

C-C-2 Cambiador de calor entre solución diluida y vapor.

C-C-3 Cambiador de calor entre solución diluida y solución concentrada.

C = T Condensador tubular para las vaporizaciones del segundo efecto y del tanque de autoevaporación.

E = 1 Evaporador primer efecto.

E = 2 Evaporador segundo efecto.

S Caja de sal.

T = 1 Tanque de solución diluida

T = 2 Tanque de solución concentrada

VCA Válvula neumática de control automático.

III FACTORES PRINCIPALES QUE INTERVIENEN EN LA EVAPORACION.

En la evaporación intervienen tantas variables, que llegar a la determinación del conjunto de valores que fijen condiciones ideales óptimas, es un problema sumamente complejo y sus resultados posiblemente no se adopten a los problemas reales de la industria.

Afortunadamente, esta operación ha sido ya bastante estudiada en muchas de sus partes, sobre todo en aquellas de carácter general, de manera que en este capítulo sólo se fijarán los factores que se deben tener en cuenta para obtener una mejor operación.

La capacidad de un evaporador, como la de cualquier aparato de transmisión de calor, está dada por la siguiente fórmula:

$$Q/H = U A \Delta T$$

en donde:

Q/H = Cantidad de calor transmitido en BTU/hr.

A = Área neta de la superficie de calentamiento en pies².

U = Coeficiente total de transmisión de calor en BTU/hr⁰Fpto².

ΔT = Diferencia de temperaturas entre el vapor de calienteamiento y la temperatura de ebullición del líquido por evaporar.

Debido a que ya se cuenta con un determinado equipo, el área de transmisión de calor es un dato fijo, si que la capacidad Q/H va a depender de U y ΔT .

Por lo tanto, los puntos a los cuales se --
los dobo dar mayor importancia en la operación son

1.- Obtención de una eficiente transmisión
de calor a través de la superficie de calentamiento.

Si coeficiente de transmisión de calor U , -
es el factor determinante de la capacidad de transmisión de -
calor en un equipo dado suponiendo fijos los valores del área
de calentamiento A y de la caída de temperatura ΔT entre el -
vapor que se condensa y el punto de ebullición del líquido --
que se encuentra.

El coeficiente de transmisión de calor U , -
es igual a la inversa de las resistencias en serie que forman
las diversas capas fluidas y sólidas desde el vapor de calen-
tamiento hasta el líquido en ebullición.

Para simplificar el estudio y cálculo de U
se ha supuesto que éste depende exclusivamente de la resisten-
cia presentada por la película de líquido, en este caso parti-
cular de la lejía; tal suposición no lleva grandes errores, -
ya que la resistencia presentada por el lado del vapor varía
entre 1/2000 y 1/3000, en cambio la resistencia presentada --

por el líquido en evaporadores de circulación natural varía desde 1/1000 en equipos que trabajan con una ΔT no muy pequeña y evaporan líquidos no muy viscosos, hasta 1/50 en aquellos que trabajan con ΔT pequeñas y concentran líquidos viscosos.

Para efectuar en una forma práctica el cálculo de U se ha establecido una fórmula que tiene en consideración las variables principales que afectan al valor de la resistencia parcial mencionada anteriormente, y se ha formado la siguiente ecuación empírica:

$$n U = c \Delta T^b$$

en donde n representa la viscosidad del líquido, ΔT la caída de temperatura entre el vapor que se condensa y el líquido contenido en el evaporador, c es una constante específica de cada evaporador y b se considera prácticamente constante para todos los líquidos y evaporadores.

Para resumirlo en concreto al caso de los evaporadores de lejías tratadas en un equipo dado hay necesidad de hacer una serie de experimentos que fijen prácticamente los valores de las constantes que son necesarias para este estudio.

Para obtener una mayor eficiencia en la transmisión de calor, es lógico variar de una manera conveniente

ntente los factores principales que intervienen en el valor de U .

Por ejemplo, al disminuir la viscosidad del líquido, aumenta favorablemente el coeficiente de transmisión de calor U . Como a disminuir al aumentar la temperatura de convección, si valor de U sufre un aumento por este缘由, pero al mismo tiempo el valor de la caída de temperatura tiende a ser menor afectando esta variación desfavorablemente en el valor del coeficiente de transmisión de calor.

Hay un par de valores correspondientes de α y δT (suponiendo fija la temperatura del vapor de calienteamiento) que determina un máximo valor para U .

Hay otros factores que hacen variar las resistencias parciales y por lo tanto el valor del coeficiente total.

La resistencia presentada al flujo de calor por la capa de metal de que están constituidos los tubos de calentamiento, es tan pequeña comparativamente que en general se desprecia frente a la resistencia total, pero cuando se determinan interacciones de calor en los tubos o corrosión de los mismos, entonces el coeficiente de transmisión de calor disminuye a una cifra tal, que es inaceptable seguir trabajando el equipo en esas condiciones.

La presencia de gases incondensables en la cámara de vapor de la calandria, determina un aumento en la resistencia del vapor y llega a veces a causar serias pérdidas en la capacidad del equipo. Por lo tanto, es indispensable estar eliminando continuamente los gases incondensables acumulados en la calandria.

La formación de sales por cristalización provoca un aislamiento de cierta porción del área de calentamiento, en los evaporadores de glicerina éste fenómeno tiene mayor importancia cuando en la purificación de las sales se ha usado el método del sulfato de aluminio, por razón de que los sulfatos formados precipitan a concentraciones bajas y un gran número de cristales pequeños inutilizan apropiable porción del área de calentamiento.

Se evita en parte el fenómeno anteriormente mencionado, mediante una circulación natural del líquido y un amplio espacio para la sal en la parte inferior del evaporador.

B.- Separación efectiva del líquido y el vapor.

Debido a que el objeto de la evaporación es la separación del soluto por vaporización del solvente, es importante evitar los arrastres de líquido en la corriente de vapor que sale del evaporador para que no se produzcan contaminaciones.

ctores del condensado y pérdidas del producto.

Ahora bien, puesto que tanto el agua como la glicerina son volátiles, la separación de ambos tiene a ser — propiamente un caso de destilación de dos líquidos mutuamente solubles en todos proporciones, siendo el agua el componente más volátil. Esto hecho tiene su importancia desde el punto de vista de las pérdidas de glicerina por evaporación de la misma pues la presión a la que se hace hervir la solución debe ser tal que las pérdidas de glicerina sean mínimas.

Para investigar el contenido de glicerina en los vapores que se desprenden de una solución de glicerina en agua al 80%, supongamos primero que la solución se hace hervir a 760 mm. de Hg., en el libro "Glycerol and the Glycols" — de Lawrie, se encuentra que una solución de 80% de glicerina — en agua hirviendo a la presión atmosférica a 121°C y el vapor en equilibrio con una solución que hierve a esas condiciones contiene 0.87% de glicerina.

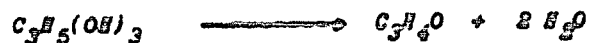
La misma solución, sólo que hirviendo a la presión absoluta de 32 mm. de Hg. tiene una temperatura de ebullición de 55°C y el vapor en equilibrio con ella contiene 7% de glicerina.

Esto significa por consiguiente, que se pierde menos glicerina por evaporación hirviendo la solución a la presión atmosférica que hirviéndole al vacío.

Sin embargo, la pérdida de glicerina por deglaciación es despreciable en comparación con otras pérdidas tales como el arrastre de pequeñas gotitas que son el resultado de la ruptura de las burbujas y representan más o menos el 2% del glicerol total procesado; otra causa de pérdidas se presenta cuando hay un descenso rápido del vacío, con lo que gran parte de la solución se autoevapora aumentando demasidado el níquel del líquido, debido a que su temperatura es mayor que el punto de ebullición correspondiente a esta baja presión.

Estas pérdidas pueden reducirse por medio de un espacio de vapor suficientemente grande y por medio de separaciones adecuadas sobre la calandria y finalmente por un separador efectivo. Este último generalmente consiste de una cámara cilíndrica a la que el vapor entra tangencialmente. En el separador de tipo Flich el vapor entra tangencialmente cerca del techo y regresa por medio de un tubo que está en el centro del separador. Las gotas de aceite se reúnen en el fondo del separador y son reincorporadas al evaporador.

Por lo que respecta al deterioro de la solución, siempre que se evapora una solución de glicerina, ésta sufre una descomposición formando acroleína principalmente:



La acroleína se polimeriza o reacciona con la glicerina formando cuerpos resinosos que impiden el pro-

dato.

La cantidad de glicerina descompuesta es función de la temperatura, por lo que desde ese punto de vista es preferible efectuar la evaporación a baja presión.

3.- Establecimiento de los valores más adecuados de ciertas magnitudes de operación.

Se refiere principalmente a:

- a) la presión de trabajo dentro del evaporador
- b) la temperatura del vapor de calentamiento
- c) la altura del líquido dentro de la caldera.

Apareciendo en la evaporación de un líquido cualquiera, mientras mayor es el vacío, con más las ventajas logradas en lo referente a capacidad del equipo, por el hecho de que aumenta la caída de temperatura.

Pero como ya se mencionó, también hay un incremento en la viscosidad del líquido que se concentra obviamente esta variación desfavorablemente en el coeficiente de transmisión de calor. Un evaporador trabajando a 700 mm. de hg. de vacío puede tener menos capacidad que otro operando a 600 mm. suponiendo fijas las demás condiciones del proceso.

El vacío óptimo es en cierto sentido según el

tipo de evaporador usado, el líquido que se evapora y el costo de la generación del vacío.

También hay que tener en cuenta las ventajas logradas en la producción del producto cuando se trabaja a un alto vacío.

Respecto a la temperatura del vapor de calor suministrado, evidentemente se debería de usar el valor más grande de ésta, pues al hacerlo mayor el valor de la diferencia de temperaturas A T, la capacidad del equipo también aumentaría.

La influencia del cálculo en la temperatura del vapor estaría marcada por la resistencia del material usado en la calandria. La mayoría de los evaporadores para glicerina están construidos de fierro fundido y no soportan altas presiones.

También interviene en el valor de la temperatura óptima del vapor, el costo de la generación de éste a alta presión y la utilización del vapor de escape (6 lb/pulg^2)

Lambe recomienda iniciar la operación a una presión de 6 lb/pulg^2 hasta llegar a la descongelación del semicrudo y terminar la segunda fase de la operación a 25 lb/pulg^2 de presión.

Es de importancia también, el nivel del líquido.

saldo en el evaporador el cual tiene influencia sobre los siguientes magnitudes:

El coeficiente de transmisión de calor depende sensiblemente al aumentar la altura del líquido, por el hecho de que la velocidad de circulación del mismo tiende a disminuir.

Al aumentar la altura de la columna, la presión media ejercida por sobre el líquido se hace mayor y por lo tanto el punto de ebullición sufre un aumento correspondiente.

Cuando la convección forzada opera en el evaporador (caso de los lejíos) al aumentar el nivel del líquido dentro de éste, aumentan sensiblemente las pérdidas por arrastres.

En evaporadores de glicerina, cuando se trabaja a niveles bajos, hay peligro de que se sequen los tubos de la calandria occasionando fuerte sobrecalentamiento inpropio que causa deterioros del producto e incrustaciones en los tubos.

Para encontrar la altura del líquido más conveniente dentro del evaporador, es necesario tener en cuenta la influencia del mismo sobre los factores mencionados anteriormente.

4.- Por último, teniendo en cuenta los factores

los anteriores se adopta un sistema de trabajo que determine las mejores condiciones de operación. Por la razón de causar menor vigilancia y menor de obra se usa preferentemente operación continua en la evaporación. Pero cuando el producto es muy viscoso o por cualquier otra razón tiene un bajo coeficiente de transmisión de calor y la diferencia entre la concentración inicial y final es muy grande, se prefiere hacer uso de un sistema intermitente.

Laurie recomienda la concentración de agua hasta comienza en operación continua, ya que como la viscosidad excesiva sólo aparece al haberse evaporado la mayor parte del agua, ésto a partir de 600 punto se hace necesario la operación en sistema intermitente, pudiendo producirse continuamente líquido de una concentración intermedia a la cual el coeficiente de transmisión de calor no es muy bajo. Al finalizar la concentración en sistema intermitente se evita que el evaporador trabaje continuamente a la máxima viscosidad y por consiguiente con un coeficiente de transmisión de calor mínimo.

IV INCONVENIENTES Y REFORMAS A LA INSTALACION DEL EQUIPO.

Como se explicitó anteriormente es de primordial importancia para llevar a cabo una buena evaporación, garantizar en lo posible la transmisión de calor y la separación del líquido y del vapor, y en este caso, también la separación de los sólidos.

En el equipo descrito, debido en parte al diseño mismo, así como también a fallas en la operación o de carácter mecánico, no se efectúa una eficiente evaporación.

En seguida se explicarán los inconvenientes así como las reformas que se efectuaron con objeto de mejorar la transmisión de calor y obtener una separación más efectiva.

Analizando la temperatura de alimentación de solución diluida al primer efecto, que debe vertirse dentro de una amplia gama de valores, sin mantenerse constante a la temperatura de alimentación que previamente se fijaba.

Es bien sabido que si la alimentación a un evaporador se hace a la temperatura de ebullición correspondiente a la presión absoluta en el espacio de vapor, todo el calor transferido a través de la superficie de calentamiento es utilizado en la evaporación y la capacidad (considerando

a base con las libras de agua evaporadas por unidad de tiempo) es proporcional a este cantidad de calor, pero si la alimentación se hace a una temperatura más baja, el calor requerido para calentar hasta la temperatura de ebullición puede ser apreciable y por lo tanto reducir la capacidad, ya que no todo el calor se aprovecha en la evaporación.

Por otro parte al introducir la solución al evaporador a una temperatura mayor a la de ebullición, se produce una autoevaporación que no permite mantener condiciones uniformes en la operación.

Teniendo en cuenta las consideraciones anteriores se trató de mejorar el control de la temperatura de alimentación en el sistema de evaporación en cuestión.

Cuando este equipo se trabaja en sistema continuo, la solución diluida sale antes de entrar al primer efecto pasa a través de un cambiador de calor en donde intercambia calor con la solución concentrada caliente proveniente del segundo vaso y después se envía a un precalentador en el que por medio de vapor directo de la caldera es calentada hasta una temperatura cercana a la de ebullición en el primer vaso.

Esta temperatura de alimentación es controlada automáticamente por medio de un controlador neumático -

que esté sobre una válvula de diafragma instalada en la línea de suministro de vapor al precalentador; dicha válvula resultaba ser demasiado grande y a esto se debían las irregularidades en el control, ya que tenía un diámetro de 8 — pulg. comparado con un diámetro de 0.5 pulg. en la línea. — Primero se trato de hacer el control manual de la temperatura pero no fue satisfactorio, se trataron entonces de condicionar las válvulas automáticas que se tienen disponibles y finalmente se instaló una válvula del mismo tipo de la que se tenía originalmente pero con un diámetro de 0.5 — pulg. con la que el control se obtuvo.

Otro de los inconvenientes encontrados en la operación de los evaporadores era la continua variación del nivel de líquido dentro del segundo efecto. Esta variación se ocurría debido a que el primer efecto trabaja a presión atmosférica y el segundo efecto trabaja a vacío, entonces al pasar la solución concentrada del primero al segundo efecto se autoevaporaba en poco tiempo, y aún cuando en esta autoevaporación no se suministra calor, se producía una circulación violenta de la solución con los consecuentes pérdidas de glicina y cloruro de sodio por arrastre, la contaminación del condensado y la variación del nivel de operación.

Para prever la autoevaporación y mantener y mantener una operación normal en el segundo efecto,

se instaló a la salida del primer efecto y en parte más arriba de la altura de la calandria, en tanque conectado al efecto del segundo efecto por medio de un tubo que desemboca a la linea de las vaporizaciones que van al condensador de superficie.

Debido a que se trata de un tanque de paso, no requiere una capacidad determinada, por lo que se construyó éste con un diámetro de 4 pulg. y una altura de 20 pulg.

Con soluciones de glicerina y cloruro de sodio la ebullición es muy violenta y las vaporizaciones formadas tienden a arrastrar gotas de líquido, algunas veces como burbujas o espuma, otras como pequeñas gotitas producidas por el rompimiento de las burbujas. Estos arrastres se producen también a menudo cuando se eleva repentinamente el vacío dentro del evaporador o la solución entra a una temperatura mayor a la correspondiente a la presión dentro del mismo. Como ya se mencionó, la evaporación es la vaporización del solvente en forma de vapor y es necesario asegurarse de este se produce antes de que el vapor pase al condensador.

En este punto el problema no fue resuelto totalmente, ya que los arrastres de solución se deben principalmente al espacio de vapor tan reducido con que cuentan los evaporadores, aún cuando en la parte más alta del domo ambos están provistos de bumeranes.

Debido a la falta de espacio y a medios económicos para realizar una instalación adecuada, no fué posible el uso de separadores en las líneas de descarga de las vaporizaciones con los cuales se hubieran recuperado totalmente los arrastres de glicerina.

Para evitar lo más posible estos arrastres, se procedió a trabajar los evaporadores a niveles de ebullición bajos, más o menos a la mitad de la altura de la calandria en ambos efectos, y con un vacío moderado en el segundo efecto.

Los condensados tanto del vapor de calefamiento como de las vaporizaciones producidos con aguas de alimentación a la caldera, y ya que éstos deben estar libres de arrastres de glicerina y cloruro de sodio, se instaló en la línea de descarga de la bomba que manda los condensados a la caldera, un sistema de alarma, para evitar que éstos se envíen contaminados.

Este sistema está compuesto por una celda construida con un tubo de vidrio con un ánodo de grafito y un cátodo de fierro, y conectado a éste circuito se encuentra un timbre de modo que al pasar los condensados contaminados con cloruro de sodio y consecuentemente con glicerina, se produce el paso de la corriente eléctrica en la celda haciendo sonar el timbre. En ese momento los condensados se desvían hacia el drenaje.

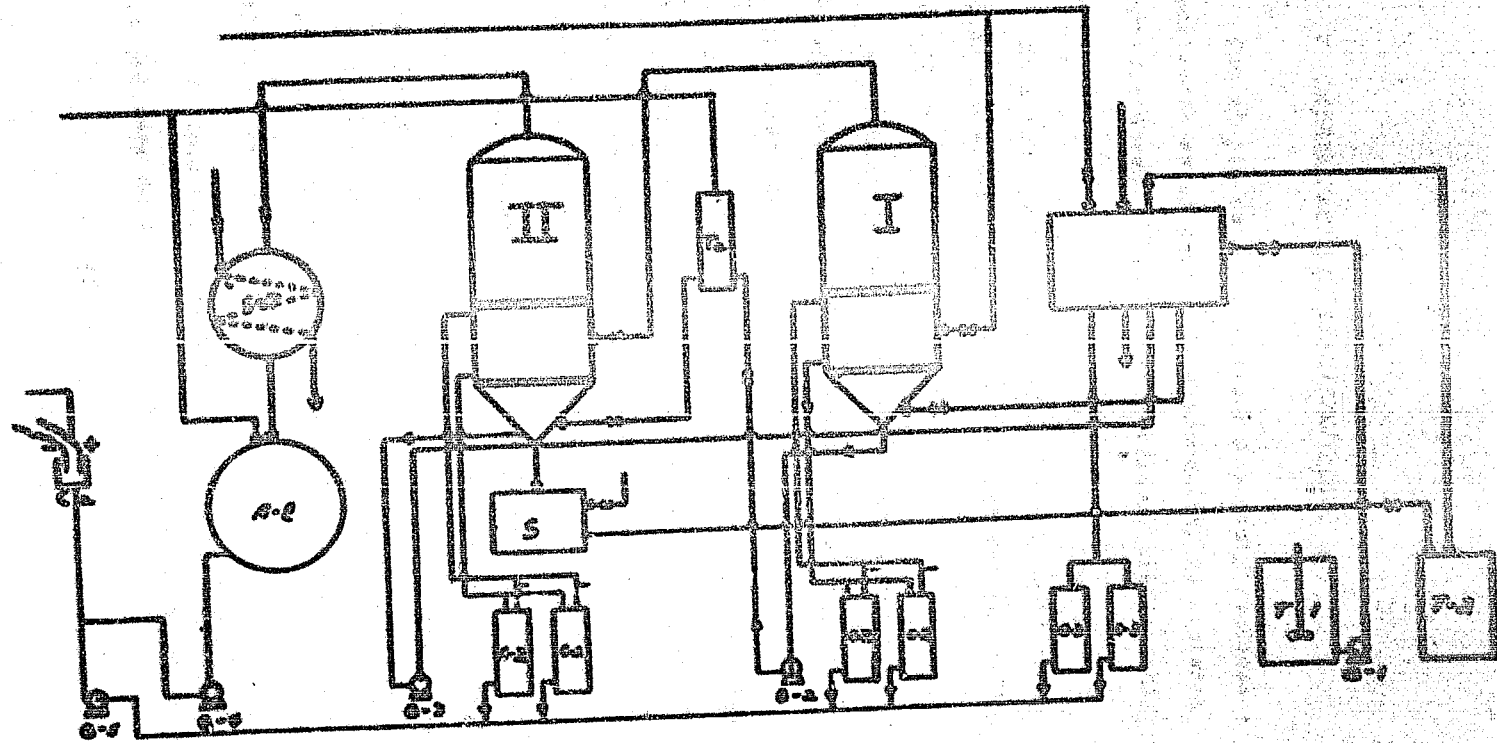
Al realizarse la operación se encontró que el tamaño del cristal de cloruro de sodio producido en la cristalización era muy pequeño, por lo que se consideró necesario introducir una malla más fina en el fondo de la caja de sal, para evitar que al desalojar la solución saturada introduciendo otro comprimido, la sal escapara junto con la solución.

Por lo que respecta a los problemas de carácter mecánico, se cambiaron todos los tubos del precalentador de solución diluida, además de que se derrizaron las chapas de los mismos.

Se revisaron los 26 termopares cambiándose los que se encontraban defectuosos y cubriendose la bolsa de cada termopar con una capa de zinc para protegerlos de la corrosión.

Para evitar contaminaciones de la solución por la corrosión de los tanques de solución diluida y concentrada, se limpianos éstos perfectamente y se les aplicó un recubrimiento plástico. El mismo recubrimiento fue aplicado también a los 6 tanques de condensados.

Si motor del agitador del tanque de solución diluida se cambió por otro de las mismas características del primero sólo que herméticamente cerrado para evitar que al preparar las soluciones éste se mojara.



V DETERMINACIONES EXPERIMENTALES.

Con el fin de poder evaluar las modificaciones que se realizaron en el equipo de evaporación, se hicieron varias corridas antes y después de efectuadas dichas modificaciones.

En ambos casos, las determinaciones se hicieron partiendo de una solución cuya concentración inicial fija de 6 % de glicerina y 10 % de cloruro de sodio.

Esta solución se concentró en cada corrida, en operación continua y doble efecto hasta 14.5 % de glicerina y 15.5 % de cloruro de sodio.

La concentración de la solución no se llevó más adelante, debido a que para los fines que se persiguen en este trabajo, a la concentración final alcanzada se obtiene una apreciable cantidad de cristales en la caja de sal.

En el primer efecto se operó siempre a presión atmosférica, para lo cual se conectaba a la atmósfera el tanque recolector de condensados del segundo efecto, ya que como se trabajó a doble efecto, las vaporizaciones producidas en el primer efecto servían como medio de calentamiento a la calandria del segundo.

En este efecto se operó siempre a un vacío moderado, ya que como no fué posible conectar con un separador

adecuado a la salida del vaso, se evitó con ésto una ebullición violenta que pudiera causar pérdidas del producto por arrestros.

A continuación se dan los cálculos efectuados para una de las corridas, después de modificado el equipo, para que en seguida se observen los resultados obtenidos anteriores y después de las reformas.

Los coeficientes de transmisión de calor para ambos efectos se obtuvieron de las ecuaciones

$$Q/A = U \Delta T = wA$$

en donde:

Q/A = Cantidad de calor transmitido, en BTU/hr.

U = Coeficiente total de transmisión de calor en

$$\frac{\text{BTU}}{\text{hr}^{\circ}\text{F} \text{ pie}^2}$$

A = Área neta de la superficie de calentamiento en pie²

ΔT = Diferencia de temperaturas entre la del vapor de calentamiento y la temperatura de ebullición del líquido por evaporación, en °F.

w = Vapor de calentamiento, en lb/hr

l = Calor latente de vaporización a la presión del vapor de calentamiento, en BTU/lb.

Si área neta de la superficie de calentamiento

se obtuvo de los datos de diseño del equipo. Cada calandria consta de 29 tubos con las siguientes características:
diámetro interior de los tubos = 1 3/8 pulg.

longitud de los tubos = 21 pulg.

diametro interno del tubo de retorno = 3 3/16 pulg.

diámetro de la calandria = 16 pulg.

longitud del tubo de retorno = 21 pulg.

espesor de las chapas de los tubos = 3/4 pulg.

$$A_t = A_1 + A_2 + A_3$$

A_t = área de calentamiento total en cada evaporador.

A_1 = área de una chapa.

A_2 = área de los tubos.

A_3 = área del tubo de retorno.

$A_1 = \text{Área chapa} = \text{Área tubos} - \text{Área retorno}$.

$$A_{chapa} = 0.785(16/12)^2 = 1.395 \text{ pies}^2$$

$$A_{tubos} = 0.785(0.115)^2 \times 29 = 0.206 \text{ pies}^2$$

$$A_{retorno} = 0.785(0.316)^2 = 0.0794 \text{ pies}^2$$

$$A_1 = 1.395 - 0.206 - 0.0794 = 1.0275 \text{ pies}^2$$

$$A_2 = 3.1416 \times 0.115 \times \frac{21}{12} \times 29 = 17.62 \text{ pies}^2$$

$$A_3 = 3.1416 \times 0.316 \times \frac{21}{12} = 1.75 \text{ pies}^2$$

$$A_t = 1.0275 + 17.62 + 1.75 = 20.6975 \text{ pies}^2$$

$$A_t = 20.6975 \text{ pies}^2$$

Para el primer efecto

$$\frac{dA}{dT} = u \lambda$$

$$u = \frac{dA}{dT}$$

p = presión de trabajo, en $lb/pulg^2$

p_a = presión del vapor de calentamiento, en $lb/pulg^2$

T_s = temperatura del vapor de calentamiento, en $^{\circ}F$

t_0 = temperatura de ebullición de la solución a la presión -
de trabajo, en $^{\circ}F$

$$p = 11.3 \text{ lb/pulg}^2$$

$$t_0 = 237^{\circ}F$$

$p_a = 19.8 \text{ lb/pulg}^2$ manométricas = 31.1 lb/pulg^2 absolutas

$$T_s = 252.4^{\circ}F$$

$$\lambda = 943.73 \text{ BTU/lb}$$

$$A = 20.4975 \text{ pies}^2$$

Sustituyendo los datos en la ecuación para U_1

$$U = \frac{943.73 \text{ BTU/lb} \times 112.8 \text{ lb/hr}}{20.4975 \text{ pies}^2 \times 15.4^{\circ}F} = 335.43 \frac{\text{BTU}}{\text{hr}^{\circ}F \text{ pie}^2}$$

$$U = 335.43 \frac{\text{BTU}}{\text{hr}^{\circ}F \text{ pie}^2}$$

Para el segundo efecto

$$P = 9 \text{ pulg Hg} = 6.4208 \text{ lb/pulg}^2$$

$$t_0 = 167^{\circ}F$$

$$P_a = 11.3 \text{ lb/pulg}^2$$

$$T_4 = 180^{\circ}F$$

$$\lambda = 370.3 \text{ BTU}/lb$$

$$A = 20.4975 \text{ piede}^2$$

Gastituyendo:

$$U = \frac{370.3 \text{ BTU}/lb \times 00.10/\Delta T}{20.4975 \text{ piede}^2 \times 33^{\circ}F} = 169.3 \frac{\text{BTU}}{\text{hr}^{\circ}F \text{ piede}^2}$$

$$U = 169.3 \frac{\text{BTU}}{\text{hr}^{\circ}F \text{ piede}^2}$$

El coeficiente de transmisión de calor medio, \bar{U}_m para este equipo de evaporación fué en esta corrida de

$$\bar{U}_m = \frac{335.43 + 169.3}{2} = 252.36 \frac{\text{BTU}}{\text{hr}^{\circ}F \text{ piede}^2}$$

$$\bar{U}_m = 252.36 \frac{\text{BTU}}{\text{hr}^{\circ}F \text{ piede}^2}$$

Bendimientos:

Ajinetación a tanque de 200 lbs., con una concentración de 4 % de jilóceros, 10 % de cloruro de sodio y 36 % de agua.

Descenso a tanque de 200 lbs con una concentración de 16.5 % de jilóceros, 15.5 % de cloruro de sodio y 70 % de agua.

Ajinetación a 200 lbs solución diluida

90 lbs cloruro de sodio

32 lbs jilóceros

Descargas

990 Kg solución concentrada

31 Kg de cloruro de sodio en solución

29 Kg glicerina

30 Kg cristales de cloruro de sodio =

con 5 % de agua y 2 % de glicerina, o sea 1.5 Kg de agua, ~
0.6 Kg de glicerina y 27.9 Kg de cloruro de sodio.

Rendimiento de Glicerinas

$$\frac{29 + 0.6}{32} = 93 \%$$

Rendimiento de Sal:

$$\frac{31 + 27.9}{60} = 73.5 \%$$

En la misma forma se procedió al cálculo de los
coeficientes de transmisión de calor y rendimientos antes
de que se efectuaran las modificaciones.

Los resultados obtenidos fueron:

Coeficiente total de transmisión de calor en el
primer efecto; $U_1 = 223.5 \frac{\text{BTU}}{\text{hr}^{\circ}\text{F} \text{ pto}^2}$

Coeficiente total de transmisión de calor en el
segundo efecto; $U_2 = 123 \frac{\text{BTU}}{\text{hr}^{\circ}\text{F} \text{ pto}^2}$

$$U_{\text{m}} = \frac{223.5 + 123}{2} = 173.25 \frac{\text{BTU}}{\text{hr}^{\circ}\text{F} \text{ pto}^2}$$

Rendimiento de glicerinas 61.5 %

Rendimiento del cloruro de sodio: 59 %

Rendimiento del cloruro de sodio en cristales:

6 %.

En seguida se hicieron determinaciones a diferentes concentraciones con objeto de dejar definido lo que ocurría.

$$\Delta U = c \Delta T^2$$

Los datos obtenidos son:

c	f.c.p.	U	ΔU	ΔT
5.28	0.31	338	104.78	15
10.00	0.60	169	79.00	29
6.93	0.39	327	127.53	27
11.67	0.5226	169	88.32	25
6.31	0.405	342	130.51	19
18.69	0.5363	121	88.5	29

Las concentraciones de la glicerina se fueron obtenidas experimentalmente tomando muestras en cada corriente.

La viscosidad de la solución fue determinada para cada experiencia, a la temperatura correspondiente en un Viscosímetro "Ostwald".

Los coeficientes de transmisión de calor se obtuvieron en la forma descrita anteriormente.

La temperatura de ebullición, así como la del vapor de calentamiento pero cada vez, fueron obtenidas en los termómetros correspondientes.

Con los datos anteriores se obtienen los valores de las constantes a y b de la fórmula empírica; $\log \frac{v}{v_0} = a + bT^2$

Haciendo logaritmos:

$$\log \frac{v}{v_0} = \log a + b \log T^2 \dots\dots\dots (1)$$

Sustituyendo los tres primeros datos en la ecuación (1):

$$\log 311. = 3 \log a + b \log 50$$

Haciendo lo mismo , en los datos restantes:

$$\log 315.33 = 3 \log a + b \log 73$$

$$\log 103.77 = \log a + b \log 29$$

$$\log 105.11 = \log a + b \log 24.3$$

$$2.157 = \log a + b \log 1.3010$$

$$2.316 = \log a + b \log 1.3056$$

Rastando:

$$0.059 = 0.0866 b$$

$$b = \frac{0.059}{0.0866} = 0.69$$

$$2.316 = \log a + 1.3056 \approx 0.69$$

$$\log a = 1.2599$$

$$a = 29$$

Por lo tanto, la ecuación que rige la transm-

stón de calor en el equino que se estudió es:

$$e^{\gamma} = 20 \text{ e}^{0.02}$$

VI CONCLUSIONES.

De las experieneces realizadas en el equipo de evaporación, antes y después de las modificaciones propuestas, se obtuvieron:

Antes	Después
$U_A = 173.25 \frac{BTU}{hr^{\circ}F \text{ pie}^2}$	$U_A = 341.86 \frac{BTU}{hr^{\circ}F \text{ pie}^2}$

por lo que el coeficiente de transmisión de calor promedio se mejoró en un 60 %.

Por lo que respecta a los rendimientos:

Antes	Después
Rendimiento Glicerina 81.5 %	93 %
Rendimiento cloruro de sodio 53 %	73.5 %

los rendimientos mejoraron y además se obtuvo una cantidad apreciable de cristales en la caja de sal.

Ya que la finalidad de este trabajo no fué una optimización del proceso, debido a que no se contaban con los medios adecuados para ello, sino únicamente un recondicionamiento del mismo, se consideraron satisfactorios los resultados obtenidos, quedando el equipo en condiciones de ser utilizado con fines didácticos.

BIBLIOGRAFIA.

- 1.- Badger and Bonchero.- *Introduction to Chemical Engineering*.
Mc. Graw Hill Book Co.- 1955.
- 2.- John H. Perry.- *Chemical Engineers Handbook*.- Mc. Graw —
Hill Book Co.- 1960.
- 3.- Jalker, Lewis, Mc Adams and Gilliland.- *Principles of
Chemical Engineering*.- Mc Graw Hill Book Co.
- 4.- Lawrie.- *Glycerol and the Glycols*.- The Reinhold Publishing
Corp.- 1929.
- 5.- Carl S. Miner.- *Glycorol*.- Reinhold.- 1953.
- 6.- Coulson and Richardson.- *Chemical Engineering*.- Pergamon —
Press.